

文章编号: 0253-2239(2009)06-1471-05

# G.657 光纤的制备及其性能

张立永 刘利 陈海斌

(富通集团有限公司, 浙江 富阳 311422)

**摘要** G. 657 光纤具有优异的弯曲损耗不敏感性能, 被认为是诸如光纤到户(FTTH)等局域网和接入网系统的首选产品, 因此, 该光纤的研究倍受重视。提出了一种采用全合成工艺制造 G. 657 光纤的方法, 详细探讨了芯层和第一包层区的厚度( $a, b$ )及其折射率差( $\Delta_1, \Delta_2$ )与光纤性能之间的关系。研究表明, 当  $a$  的取值在  $3.5 \sim 4.0 \mu\text{m}$  之间,  $b$  的取值在  $0.5 \sim 1.9 \mu\text{m}$  之间,  $\Delta_1$  的取值在  $0.0034 \sim 0.0045$  之间,  $\Delta_2$  的取值在  $-0.0006 \sim 0$  之间时, 可制得满足 ITU.T.G.657.A 标准的光纤; 当  $a$  的取值在  $2.8 \sim 3.2 \mu\text{m}$  之间,  $b$  的取值在  $0.8 \sim 2.1 \mu\text{m}$  之间,  $\Delta_1$  的取值在  $0.0058 \sim 0.0072$  之间,  $\Delta_2$  的取值在  $-0.0016 \sim -0.0008$  之间, 可制得满足 ITU.T.G.657.B 标准的光纤。且该光纤在结构上相对简单, 无特殊设计的沟、槽、孔, 因此制作工艺相对容易、稳定, 易于推广和应用。

**关键词** 光纤光学; G. 657 光纤; 全合成工艺

中图分类号 TN818

文献标识码 A

doi: 10.3788/AOS20092906.1471

## Fabrication and Properties of G.657 Fibers

Zhang Liyong Liu Li Chen Haibing

(Futong Group Co., Ltd., Fuyang, Zhejiang 311422, China)

**Abstract** G. 657 fibers are regarded as the first choice for local net and access net such as Fiber to the home (FTTH) systems for their excellent property of bend-insensitive loss. Therefore, this kind of fiber is highly discussed in recent years. A method of fully synthetic process was introduced to fabricate G. 657 fibers, and the relation between attributes of fiber and the size of core  $a$  and cladding  $b$  difference of refractive index of core ( $\Delta_1$ ) and cladding ( $\Delta_2$ ) were discussed in detail. As a result, when  $a$  is between  $3.5 \sim 4.0 \mu\text{m}$ ,  $b$  is between  $0.5 \sim 1.9 \mu\text{m}$ ,  $\Delta_1$  between  $0.0034 \sim 0.0045$  and  $\Delta_2$  between  $-0.0006 \sim 0$  fibers complying with the standard of ITU.T.G.657.A are obtained, while  $a$  is between  $2.8 \sim 3.2 \mu\text{m}$ ,  $b$  is between  $0.8 \sim 2.1 \mu\text{m}$ ,  $\Delta_1$  between  $0.0058 \sim 0.0072$  and  $\Delta_2$  between  $-0.0016 \sim -0.0008$  fibers complying with the standard of ITU.T.G.657.B are obtained. Structures of the fibers are simple without special dips, grooves or holes, and therefore easy to fabricate, spread and use.

**Key words** fiber optics; G. 657 optical fiber; fully synthetic process

## 1 引言

近年来, 全球通信业持续发展, 推动光纤需求量的快速增长。光纤到户(FTTH)受复杂应用场合的影响(多为街道、楼宇、拐角等), 接入点多, 且因布线时的悬拉、折弯因素等影响, 光纤存在弯曲的现象很多, 这对光纤的弯曲性能提出了更高的要求。常规 G. 652 光纤的模场直径约为  $9.2 \mu\text{m}$ , 由于受到弯曲损耗和机械应力的影响, 使用中一般要求光纤弯曲半径不能小于  $30 \text{ mm}$ , 难以在室内沿墙壁布线以及将光纤余长绑成像电源线一样的小束。国际

ITU 组织于 2006 年 12 月正式出台了关于弯曲不敏感光纤光缆的规格和标准, 并将此类光纤光缆定义为 G. 657 光纤光缆<sup>[1]</sup>。G. 657 光纤光缆主要特性就是容许更小的弯曲直径, 能更好的满足局域网和接入网(如 FTTH)的施工要求。

改善光纤的弯曲性能可以从改善光纤的结构着手。如藤仓公司先是提出了 FutureGuide®-SR15 和 FutureGuide®-SR15E 抗弯损光纤, 分别对应于 ITU-T.G.652.B 光纤和 ITU-T.G.652.D 光纤。这些光纤的最小允许弯曲半径达到  $15 \text{ mm}$ , 相对于普

通单模光纤的 30 mm 的弯曲半径,缩小了一半。藤仓又提出一种孔助弯曲不敏感光纤,该光纤在弯曲半径为 5 mm、1550 nm 波长下的弯曲损耗为 0.012 dB/圈,模场直径(1550 nm)为 7.8  $\mu\text{m}$ ,截止波长为 1.28  $\mu\text{m}$ 。虽然该光纤模场直径略小于 C-SMF,但通过电弧使孔助光纤与 C-SMF 截面相匹配,使得平均熔接损耗达到 0.05 dB,其衰减性能也达到 C-SMF 的水平,1.30  $\mu\text{m}$  和 1.55  $\mu\text{m}$  的衰减为 0.50 dB/km 和 0.28 dB/km<sup>[2, 3]</sup>。德拉克公司描述的沟助 BendBrightXS 光纤既符合 G. 657. A 标准又符合 G. 657. B 标准,最小弯曲半径位于 1~10 mm 区间,而且当采用合适的程序与 C-SMF 的平均熔接损耗低于 0.05 dB<sup>[4, 5]</sup>。美国康宁推出的一种基于 nanoStructuresTM 技术的新型弯曲不敏感光纤——ClearCurveTM。该光纤不仅与 G. 652. D 完全兼容,而且抗弯曲性能比 G. 657. B 规定值高出 10 倍<sup>[6]</sup>。富通公司则设计出一种超细的低水峰抗弯损光纤,该光纤的裸光纤只有 80  $\mu\text{m}$ ,涂敷后也只有 140  $\mu\text{m}$  左右,其抗弯曲性能相当优异,最小允许弯曲半径可达 5 mm<sup>[7]</sup>。这些光纤在不同领域均已得到了应用<sup>[8~10]</sup>。

上述提及的各种方法,分别通过改进光纤的结构、折射率剖面等不同的方式对光纤的弯曲性能进行了改进,但其中很多都难以满足 ITU. TG. 657 规定的其他传输性能的要求,如文献[2, 7]所述的光纤在几何结构上不满足 G. 657 的要求。而有些能满足传输要求的光纤则结构相对复杂,实现的工艺难度大、制造成本高,如文献[3]在光纤结构中引入了孔,文献[4, 5]引入了沟槽,文献[6]更是引入了纳米气孔。本文介绍了一种结构相对简单(引入了折射率凹陷,但避免了孔、沟、槽等复杂的结构)、工艺相对容易,同时又能满足国际 ITU. T 组织提出的 G. 657 系列光纤标准的新型弯曲不敏感单模光纤,并对制造该光纤的全合成工艺进行了研究探讨。

## 2 G. 657 光纤的制备

本文采用全合成制备方法来制备 G. 657 光纤。采用轴线气相沉积法制造芯棒,以外部气相沉积法制造外包层的工艺来制造光纤预制棒。参照光纤预制棒的结构图(如图 1)。在沉积芯层区 1 时,在原料  $\text{SiCl}_4$  中掺杂一量定的  $\text{GeCl}_4$  使芯层折射率达到特定的要求;在沉积第一包层区 2 时,在原料  $\text{SiCl}_4$  中掺杂一量定的  $\text{CF}_4$  使 2 层折射率

也达到特定的要求;在沉积第二包层区 3 时,使用纯  $\text{SiCl}_4$  原料。通过控制喷灯流量和沉积时间使 1、2 和 3 层厚度沉积达到特定值,从而获得所需的光纤预制棒。然后再在拉丝塔上对该预制棒进行纺丝。纺丝时通过控制拉丝速度、滴头温度等将裸光纤直径控制在  $125 \pm 0.7 \mu\text{m}$ 。在拉丝过程中,分别在裸光纤外涂敷两层硬度不同的丙烯酸树脂,第一层树脂的厚度约 38  $\mu\text{m}$ ,杨氏模量约为 1.1 MPa,弹性模量约为 1.6 MPa;第二层树脂的厚度约 22  $\mu\text{m}$ ,杨氏模量约为 700 MPa,弹性模量约为 1200 MPa,使得成品光纤的直径为  $242 \pm 7 \mu\text{m}$ ,即得所需的光纤<sup>[11]</sup>。

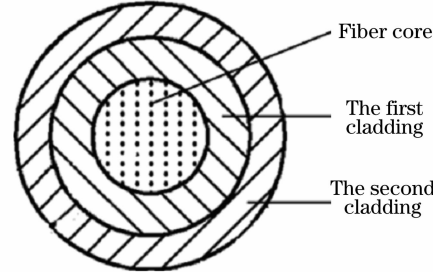


图 1 光纤预制棒的剖面结构示意图  
Fig. 1 Cross section profile of optical prefab

## 3 光纤的结构和性能探讨

制备得到的光纤的折射率剖面结构如图 2 所示。其中芯层区 1 的折射率差  $\Delta_1$ 、第一包层区 2 折射率差  $\Delta_2$  分别用以下公式计算得到:

$$\Delta_1 = \frac{n_1 - n_2}{n_1}, \quad (1)$$

$$\Delta_2 = \frac{n_2 - n_0}{n_2}, \quad (2)$$

式中  $n_0$  为纯  $\text{SiO}_2$  的折射率,  $n_1$  为芯层区的折射率,  $n_2$  为第一包层的折射率。

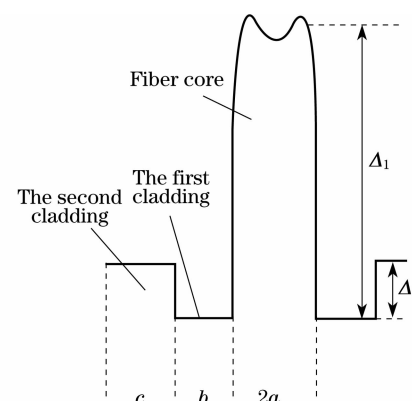


图 2 光纤的折射率剖面示意图  
Fig. 2 Refractive index profile of the optical fiber

如前所述,光纤的芯层折射率差和厚度、包层的折射率差和厚度都是影响光纤光学性能的关键性因素<sup>[11]</sup>。

文中除特别说明外,光纤的折射率均系指在0.6328 μm波长下的值。

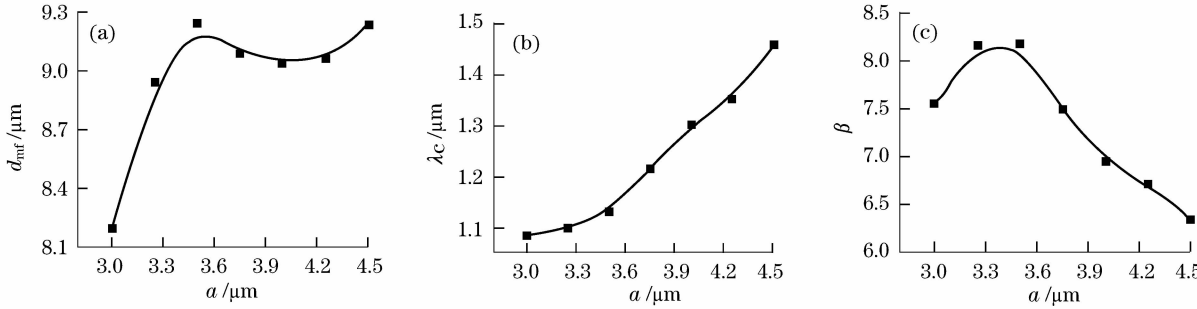


图3 光纤芯层厚度与光纤的 $d_{\text{mf}}$ (a)、 $\lambda_c$ (b)以及 $\beta$ 值(c)之间的关系曲线

Fig. 3 Transmission properties of  $d_{\text{mf}}$ (a),  $\lambda_c$ (b),  $\beta$ (c) as a function of fiber core radius

由图可见,在一定范围内,光纤的 $d_{\text{mf}}$ 随着 $a$ 的增加呈现出先迅速增加后逐渐趋于平坦的变化关系;截止波长对光纤芯层的厚度变化相当敏感,其随着 $a$ 的增加基本上呈现快速增加的趋势;而 $\beta$ 值则在 $a < 3.5 \mu\text{m}$ 时随 $a$ 的增大而增大,当 $a > 3.5 \mu\text{m}$ 时随 $a$ 的增大而不断减小。为使光纤具有较小的 $\beta$ 值,也即具有较好的弯曲性能,应使光纤的厚度尽可能的离开该曲线的峰值位置。在本文研究的范围内,为得到满足ITU.T.G.657.A标准的光纤, $a$ 的取值在3.5~4.0 μm之间较好;为得到满足ITU.T.G.657.B标准的光纤, $a$ 的取值在2.8~3.2 μm之间较好。

### 3.2 芯层折射率差与光纤性能的关系

由图4可见,在本文研究的范围内,光纤的芯层

### 3.1 芯层厚度与光纤性能的关系

图3所示分别为光纤芯层厚度 $a$ 与光纤的模场直径( $d_{\text{mf}}$ )、截止波长 $\lambda_c$ 以及 $\beta$ 值( $\beta$ 值定义为 $d_{\text{mf}}$ 与 $\lambda_c$ 的比值,是描述光纤弯曲性能的特征参量, $\beta$ 值越小,光纤的弯曲性能越好)之间的关系曲线。

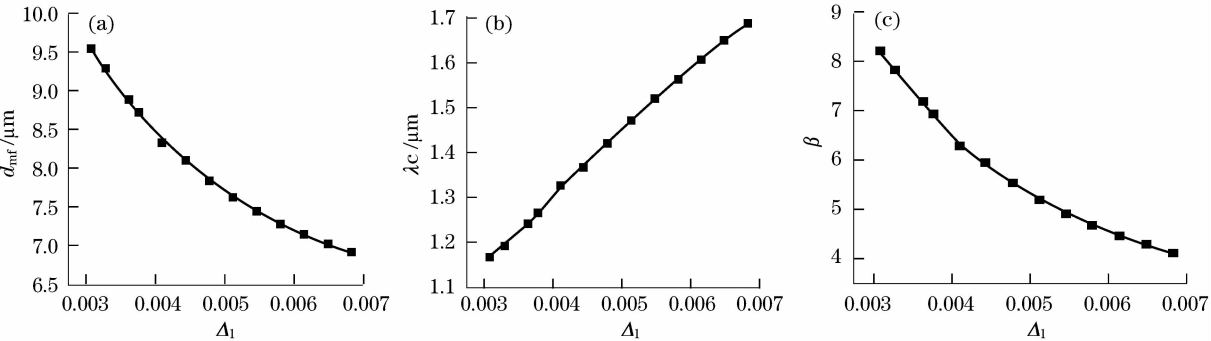


图4 芯层折射率差 $\Delta_1$ 与光纤的 $d_{\text{mf}}$ (a)、 $\lambda_c$ (b)以及 $\beta$ 值(c)之间的关系曲线

Fig. 4 Transmission properties of  $d_{\text{mf}}$ (a),  $\lambda_c$ (b),  $\beta$ (c) as a function of  $\Delta_1$

### 3.3 第一包层厚度与光纤性能的关系

图5所示分别为第一包层厚度 $b$ 与 $d_{\text{mf}}$ 、 $\lambda_c$ 以及 $\beta$ 值之间的关系曲线。

由图可见,在一定范围内,光纤的 $d_{\text{mf}}$ 随着 $b$ 的

折射率差 $\Delta_1$ 大小对光纤的 $d_{\text{mf}}$ 、 $\lambda_c$ 和 $\beta$ 值都有较大的影响。随着 $\Delta_1$ 的增加, $d_{\text{mf}}$ 迅速减小而 $\lambda_c$ 则相应不断增加。其两者的合成结果是 $\beta$ 值有明显的下降趋势。为得到较小 $\beta$ 值的光纤, $\Delta_1$ 越大越好。但一味增大 $\Delta_1$ 会带来很多负面的效果,一方面过大的折射率容易在玻璃化中产生错位,从而导致预制棒内部的应力过大,使得拉丝断纤维的几率增高;另一方面,为保证光纤的其他传输性能如 $\lambda_c$ ,就必须相应减小光纤的芯层厚度,从而牺牲了光纤的有效传输面积。实验表明,为得到满足ITU.T.G.657.A标准的光纤 $\Delta_1$ 的取值应在0.0034~0.0045之间较好;为得到满足ITU.T.G.657.B标准的光纤 $\Delta_1$ 的取值应在0.0058~0.0072之间较好。

增加而呈现线性减小的趋势,而截止波长则类似线性的不断增加;其综合的效果是 $\beta$ 值随 $b$ 的增加呈快速下降的变化关系。在本文研究的范围内,为得到满足ITU.T.G.657.A标准的光纤, $b$ 的取值应在

0.5~1.9 μm 之间;为得到满足 ITU. T G. 657. B 标准的

光纤,  $b$  的取值应在 0.8~2.1 μm 之间。

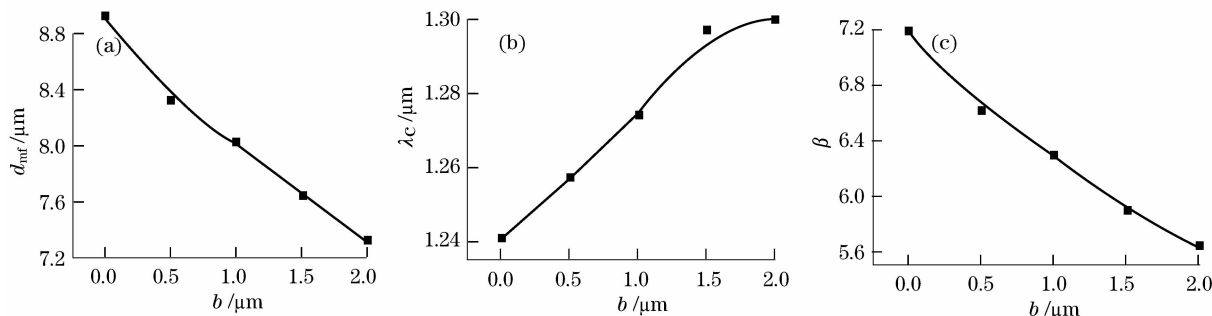


图 5 第一包层厚度与  $d_{\text{mf}}$ (a)、 $\lambda_c$ (b) 以及  $\beta$  值(c)之间的关系曲线

Fig. 5  $d_{\text{mf}}$ (a),  $\lambda_c$ (b),  $\beta$  (c) as a function of thickness of the first cladding

### 3.4 第一包层折射率差与光纤性能的关系

图 6 所示为第一包层折射率差  $\Delta_2$  与  $d_{\text{mf}}$ 、 $\lambda_c$  以及  $\beta$  值之间的关系曲线。

由图可见,在本文研究的范围内,随着  $\Delta_2$  的增加, $d_{\text{mf}}$  不断的增加,其变化的速度无特定的规律;当  $\Delta_2 < -0.0008$  时, $\Delta_2$  和  $\lambda_c$  呈线性的对应关系,且随

$\Delta_2$  的增加, $\lambda_c$  不断减小;其综合的效果是  $\beta$  值随  $\Delta_2$  的增加呈快速下降的变化关系。实验表明,为得到满足 ITU. T G. 657. A 标准的光纤, $\Delta_2$  的取值应在  $-0.0006 \sim 0$  之间;为得到满足 ITU. T G. 657. B 标准的光纤, $\Delta_2$  的取值应在  $-0.0016 \sim -0.0008$  之间。

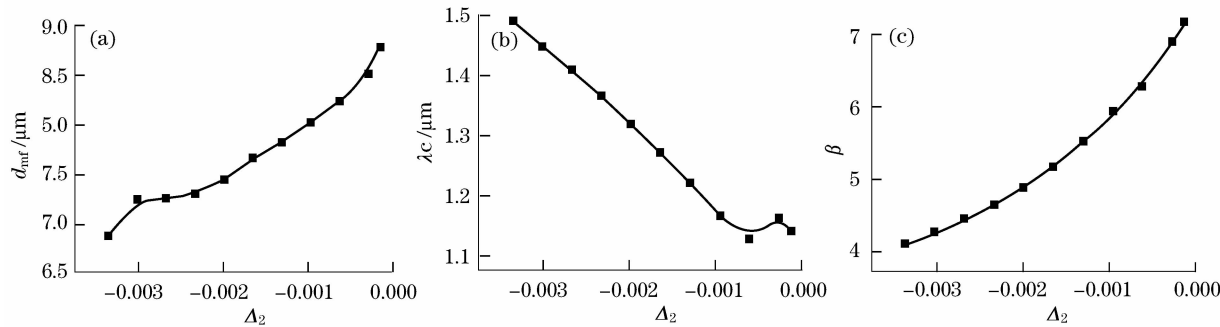


图 6 第一包层折射率差  $\Delta_2$  与  $d_{\text{mf}}$ (a)、 $\lambda_c$ (b) 以及  $\beta$  值(c)之间的关系曲线

Fig. 6  $d_{\text{mf}}$ (a),  $\lambda_c$ (b),  $\beta$  (c) as a function of  $\Delta_2$

### 3.5 G.657 光纤的工艺条件及性能

研究表明光纤的弯曲性能与其  $\beta$  值密切相关,随着  $\beta$  的增加,光纤的弯曲损耗相应的增加,因此  $\beta$  值常用于表征光纤的弯曲性能。为降低光纤对弯曲的敏感性,应尽可能的降低光纤的  $\beta$  值,但同时还要满足截止波长、模场直径等其他性能的要求。基于此及上述讨论的结果,本文优化出了两种光纤的结构参数,如表 1 所示。其对应的性能分别如表 2 和表 3 所示。由表 2 和表 3 可见,该两种光纤分别满足 ITU. T G. 657. A 和 B 的标准。

表 1 两种光纤的结构参数

Table 1 Structural parameters of two fibers

Fiber	$a / \mu\text{m}$	$\Delta_1$	$b / \mu\text{m}$	$\Delta_2$
F1	3.72	0.0038	1.10	-0.0004
F2	2.96	0.0065	1.69	-0.0009

表 2 光纤 F1 的性能

Table 2 Attributes of fiber F1

Attribute	Value	Note
Mode-field diameter / $\mu\text{m}$	8.7	At 1310 nm
Cladding diameter / $\mu\text{m}$	125.15	Nominally measured
Fiber cut-off wavelength / nm	1289	Nominally measured
Core-concentricity error / $\mu\text{m}$	0.25	Nominally measured
Cladding non-circularity / $\mu\text{m}$	0.3 %	Nominally measured
Radius / mm	15 10	
Number of turns	10 1	
Macrobending loss / dB	0.08 0.23	Max. at 1550 nm
	0.71 1.1	Max. at 1625 nm
Proof stress / GPa	0.76	Nominally measured
Chromatic dispersion coefficient $S_0 / \text{ps}/(\text{nm}^2 \cdot \text{km})$	0.087	at $\lambda_0 = 1313 \text{ nm}$

表3 光纤F2的性能

Table 3 Attributes of fiber F2

Attribute	Value	Note
Mode-field diameter / $\mu\text{m}$	6.43	At 1310 nm
Cladding diameter / $\mu\text{m}$	124.76	Nominally measured
Core-concentricity error / $\mu\text{m}$	0.22	Nominally measured
Cladding non-circularity	0.75%	Nominally measured
Fiber cut-off wavelength /nm	1280	Nominally measured
Radius	15 10 7.5	
Number of turns	10 1 1	
Macrobending loss /dB	0.01 0.03 0.17 0.04 0.13 0.68	Max. at 1550 nm Max. at 1625 nm
Proof stress /GPa	0.79	Nominally measured

## 4 结 论

G.657.A/B光纤具有独特的弯曲损耗不敏感性能,是当前诸如FTTH等局域网和接入网的最佳选择之一。本文主要研究了全合成光纤工艺中,芯层和第一包层区的厚度( $a$ 、 $b$ )及其折射率差( $\Delta_1$ 、 $\Delta_2$ )与光纤性能之间的关系,并据此给出了制作G.657.A/B光纤的各工艺参数的取值范围。研究表明,当 $a$ 的取值在3.5~4.0  $\mu\text{m}$ 之间, $b$ 的取值在0.5~1.9  $\mu\text{m}$ 之间, $\Delta_1$ 的取值在0.0034~0.0045之间, $\Delta_2$ 的取值在-0.0006~0之间时,可制得满足ITU.T G.657.A标准的光纤;当 $a$ 的取值在2.8~3.2  $\mu\text{m}$ 之间, $b$ 的取值在0.8~2.1  $\mu\text{m}$ 之间, $\Delta_1$ 的取值在0.0058~0.0072之间, $\Delta_2$ 的取值在-0.0016~-0.0008之间,可制得满足ITU.T G.657.B标准的光纤。本文给出的光纤结构相对简单,制作工艺相对容易且稳定性较好,是一种值得推广的制作G.657系列光纤的方法。

## 参 考 文 献

- ITU-T Recommendation G. 657, Characteristics of a Bending Loss Insensitive Single Mode Optical Fibre and Cable for the Access Network[S]. ITU-T Fiber standard, 2006, 1~15
- Matsuo S, Ikeda M, Himeno K. Bend-insensitive and low-splice-loss optical fiber for indoor wiring in FTTH[C]. Opt. Fiber Comm. Conf., 2004, ThI3
- Matsuo S, Nunome T, Yoshida T et al.. Design optimization of trench index profile for the same dispersion characteristics with SMF[C]. Opt. Fiber Comm. Conf. And The Expo. And Natl Fiber Opt. Engineer. Conf., 2007, JWA2
- Montmorillon L, Matthijsse P, Gooijer F et al.. Bend-Optimized G. 652D Compatible Trench-Assisted Single Mode Fibers[C]. 55th IWCS, 2006, 342~347
- Montmorillon L, Matthijsse P, Gooijer F et al.. Next generation SMF with reduced bend sensitivity for FTTH networks[C]. ECOC, 2006, Mo3.3.2
- Li M J. Bend-insensitive optical fibers simplify fiber-to-the-home installations. <http://spie.org/x23952.xml>
- Zhang L Y, Wu X K, Lu W M et al.. Design and fabrication of super-fine low water-peak bend-resistant optical fiber[J]. Acta Photonica Sinica, 2007, 36(9): 1648~1651  
张立永, 吴兴坤, 卢卫民等. 超细低水峰抗弯损光纤的设计及制作[J]. 光子学报, 2007, 36(9): 1648~1651
- Liu Yazhao, Wang Fujuan, Cai Zhigang et al.. Fabrication of two kinds of expanded core lens2Fibers and analysis of mode field diameter[J]. Chin. J. Lasers, 2005, 32(10): 1377~1381  
刘娅钊, 王福娟, 蔡志刚等. 两种扩束透镜光纤的研制与模场分析[J]. 中国激光, 2005, 32(10): 1377~1381
- Dong Xiaowei, Pei Li, Feng Suchun et al.. Study and fabrication of all fiber microring resonator[J]. Acta Optica Sinica, 2007, 27(11): 1935~1938  
董小伟, 裴丽, 冯素春等. 全光纤型微环谐振器的研制[J]. 光学学报, 2007, 27(11): 1935~1938
- Hu Aizhi, Rao Yunjiang, Niu Yongchang. A novel tunable L FG gain equalizer based on a bend insensitive fiber[J]. Acta Optica Sinica, 2005, 25(1): 30~34  
胡爱姿, 饶云江, 牛永昌. 基于弯曲不敏感光纤的长周期光纤光栅可调谐增益均衡器[J]. 光学学报, 2005, 25(1): 30~34
- Zhang Liyong, Wu Xingkun, Yang Junyong et al.. Study of optical performs manufacture via complete synthetic technology [J]. Acta Photonica Sinica, 2008, 37(12): 2404~2408  
张立永, 吴兴坤, 杨军勇等. 全合成法光纤预制棒制造的研究[J]. 光子学报, 2008, 37(12): 2404~2408